

شبیه سازی و تحلیل غیر خطی رفتار لرزه ای ورق های اتصال مهاربندی

مجتبی گرجی از ندیریانی، دانشجوی دکتری دانشگاه سمنان، سمنان، ایران

احمد ملکی، استادیار دانشکده مهندسی عمران، دانشگاه آزاد اسلامی، واحد مراغه، مراغه، ایران

مهدى یوسفوند، دانشجوی دکتری دانشگاه آزاد اسلامی، واحد مراغه، مراغه، ایران

gorji1365@yahoo.com

تاریخ دریافت: ۹۴/۳/۲۵ تاریخ پذیرش نهایی: ۹۴/۱۰/۸

چکیده:

در این پژوهش به شبیه سازی رفتار ورق اتصال مهاربندی تحت بار گذاری تناوبی پرداخته شده است. به همین منظور برای مدل سازی و شبیه سازی رفتار ورق اتصال از نرم افزار ABAQUS استفاده شده است. در مدل سازی از تحلیل استاتیک غیر خطی، صالح و هندسه غیر خطی، شرایط مرزی انعطاف پذیر و بار گذاری تناوبی استفاده شده و در نهایت تعدادی مدل ساخته و با نتایج مدل های آزمایشگاهی صحبت سنجی شده است. این مقاله نشان می دهد که رفتار تناوبی ورق های اتصال را می توان بار روشن اجزاء محدود به خوب پیش بینی کرد. نتایج شبیه سازی و تحلیل غیر خطی ورق اتصال به خوبی توانایی مدل سازی رفتار لرزه ای را دارا می باشد. همچنین به خوبی می تواند کمانش ورق اتصال در فشار را مدل سازی و پیش بینی نماید.

کلید واژگان: ورق اتصال، مهاربند های همگرا، شبیه سازی، ظرفیت کمانشی، نرم افزار ABAQUS

قاب های مهاربندی همگرا می باشد در اثر رفتار محوری اعضای مهاربندی مقاوم در برابر نیروهای جانبی زلزله فراهم می شود به دلیل پیچیدگی رفتار در اتصالات و طراحی های موجود که بر اساس آنالیز استاتیکی صورت می بذیرد، سبب گشته تا تحقیقات و مطالعات در زمینه رفتار غیر ارتفاعی مهاربندها، هم به صورت آزمایشگاهی و هم تئوریکی افزایش یابد.

پیشینه تحقیقات انجام شده بر روی ورق های اتصال مهاربندی به سال ۱۹۵۰ که توسط ویتمور انجام شده است بر می گردد. در سال ۱۹۵۰ ویتمور [۱] مطالعاتی بر روی توزیع تنش در ورق های اتصال استفاده شده در اتصالات وارنر انجام داده است. هدف اصلی ویتمور در

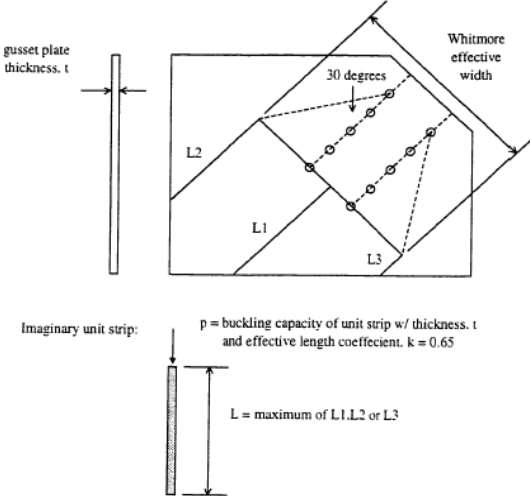
۱- مقدمه

یکی از رایج ترین سیستم های جانبی مقاوم در برابر زلزله قاب های مهاربندی جانبی هستند. استفاده از قاب های مهاربندی جانبی به اوایل قرن بیستم میلادی بر می گردد. در اوایل قاب های مهاربندی برای تحمل نیروهای ناشی از باد مورد استفاده قرار می گرفت و پس از آن برای نیروهای جانبی ناشی از زلزله توسعه یافت. یکی از ویژگی های مهم قاب های مهاربندی همگرا سختی مناسب در برابر تغییر مکان های جانبی نسبی طبقات در اثر بارهای جانبی ناشی از زلزله می باشد. این سختی مناسب که عامل مهمی در استهلاک انرژی در

مطالعاتشان پارامترهای ضخامت ورق اتصال، ابعاد ورق اتصال، زاویه مهاربندی و کمانش خارج از صفحه را مورد بررسی قرار دادند. نتایج نشان میداد که ظرفیت فشاری ورقهای اتصال رابطه مستقیم با ضخامت ورق اتصال درد، همچنین اثرات لنگرهای ایجاد شده در اثر تغییرات زاویه مهاربندی در اتصالات قاب به ورق اتصال تأثیر کمتری در توزیع تنش در ورق اتصال دارد.

رایین هویج و چنگ [۷] تحقیقاتی بر روی رفتار ورقهای اتصال تحت بارگذاری تناوبی که شامل بررسی اثرات ضخامت ورق اتصال، هندسه، لغزش پیچها و سخت کننده‌های لبه بوده است صورت گرفته است. مدل قاب آزمایشگاهی رایین هویج و چنگ به نحوی طراحی شده بود که کمانش ورق اتصال قبل از کمانش مهاربندی رخ دهد. نتایج نشان می‌دهد که در سیکلهای فشاری افت مقاومت در ورق اتصال بعد از پس کمانش رخ می‌دهد و در سیکلهای کششی تاثیر کمتری در افت مقاومت کششی دارد. استفاده از سخت کننده‌های لبه باعث افزایش ظرفیت در کشش و فشار و بهبودی در اتلاف انرژی را نشان می‌دهد.

والدبریج و همکاران [۸] مطالعات پارامتری بر روی رفتار ورقهای اتصال فولادی تحت بارگذاری یکنواخت و تناوبی با استفاده از نرم‌افزار ABAQUS انجام شده است. والدبریج و همکاران اثرات سختی اعضای قاب، رفتار غیر خطی مصالح، نقص اولیه و لغزش پیچ‌ها را در مدل ساخته شده با نرم افزار اعمال کرده و با مدل‌های آزمایشگاهی صحت سنجی شده است. نتایج والدبریج و همکاران نشان می‌دهد که کمانش ورق اتصال در فشار باعث کاهش اندازی در ظرفیت فشاری و پایداری خوبی در سیکلهای پس کمانشی می‌باشد.



شکل ۱- عرض مؤثر ویتمور و روش تورنتون

این تحقیق تعیین موقعیت و بزرگی تنش‌های ایجاد شده در ورق اتصال تحت بارگذاری کششی بوده است. ویتمور بر اساس نتایج تحقیقاتش پیشنهاد داد که در سطحی برابر با ضخامت ورق اتصال در عرض مؤثر ویتمور از ورق اتصال توزیع تنش به صورت یکنواخت است (شکل ۱).

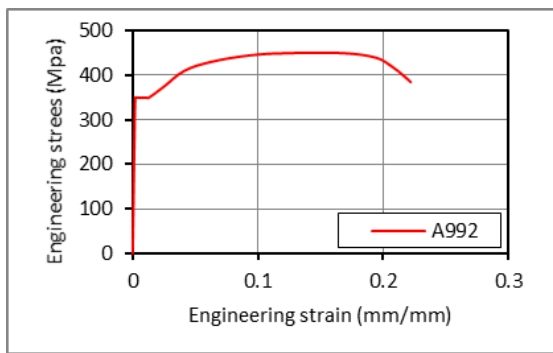
چاکاربارتا و بجورهود [۲] حقيقة‌تی بر روی مقاومت کششی ورقهای اتصال در محدوده غیر ارجاعی تحت بارگذاری کششی یکنواخت انجام دادند. روش طراحی ورقهای اتصال بر مبنای تسلیم شدگی در مقطع بحرانی (عرض مؤثر ویتمور) و ارزیابی آن با نتایج آزمایشگاهی بوده است. نتایج آزمایشات چاکاربارا و بجورهود نشان می‌دهد که گسیختگی در نمونه‌ها در آخرین ردیف از سوراخ پیچ‌های ورق اتصال رخ می‌دهد. همچنین طراحی ورقهای اتصال بر مبنای تسلیم شدگی در مقطع بحرانی تطابق خوبی با نتایج آزمایشگاهی داشته است.

تورنتون [۳] مطالعاتی به بررسی مدل بلوك بر Shi و مقاومت گسیختگی ورقهای اتصال و همچنین با کاستن از شرایط مرزی روشهای تعیین مقاومت فشاری ورقهای اتصال پیشنهاد داده است. تورنتون پیشنهاد کرد مقاومت شاری ورق اتصال را می‌توان معادل با یک ستون لاغر با طولی مساوی ماتریم طول‌های L_1 , L_2 و L_3 و ضریب طول مؤثر $k = 0.65$ در نظر گرفت (شکل ۱). آستانه اصل و همکاران [۴] در دانشگاه میشیگان تحقیقاتی بر روی رفتار مهاربندها و اتصالات آن انجام داده است. هدف اصلی آستانه اصل و همکاران بررسی رفتار کمانشی داخل و خارج صفحه مهاربندی بوده است. در مدل آزمایشگاهی از مقاطع دوبل نبیشی پشت به پشت برای اعضای مهاربندی استفاده شده است. تحقیقات آستانه اصل و همکاران به دلیل ارائه یک رویکرد نوین در طراحی سازه‌های فولادی از اهمیت بالایی برخوردار است. نتایج تحقیقات آستانه اصل و همکاران نشان می‌دهد زمانی که کمانش خارج از صفحه مهاربندی رخ می‌دهد مقاصل پلاستیک در ورق اتصال ایجاد می‌شود، این مقاصل پلاستیک نیاز به آزادی دورانی در ورق اتصال دارد که در غیر اینصورت در تعدادی دوره بارگذاری کمی منجر به گسیختگی ورق اتصال می‌شود. از این رو برای ایجاد آزادی دورانی در ورق اتصال بایست انتهای مهاربندی حداقل به اندازه دو برابر ضخامت ورق اتصال از خط آزاد خم شود، فاصله داشته باشد.

هو و چنگ [۵] در تحقیقاتشان به بررسی اثرات ضخامت ورق اتصال، هندسه و شرایط مرزی در رفتار کمانشی ورقهای اتصال تحت بارگذاری یکنواخت فشاری بوده است. نتایج تحقیقات هو و چنگ نشان می‌دهد که ورقهای نازکتر تمایل به کمانش در بارگذاری های تقریباً کمتر از بارتسیم شدگی که توسط ویتمور پیشنهاد شده بود دارند.

یام و چنگ [۶] مطالعات آزمایشگاهی بر روی رفتار فشاری و مقاومت نهایی ورقهای اتصال صورت گرفته است. یام و چنگ در

ABAQUS استفاده شده است. به منظور شبیه‌سازی رفتار لرزه‌ای ورق اتصال از داده‌های حاصل تحقیقات رایین‌هویج و چنگ [۸] سه مدل آزمایشگاه انتخاب و مدل‌سازی شده است. مشخصات و خصوصیات رفتاری مصالح در مدل‌سازی همان فولاد مورد استفاده در آزمایش می‌باشد که فولاد A992 با منحنی تنش-کرنش که در شکل ۲ نشان داده شده می‌باشد استفاده شده است. مدل پلاستیسته که در این تحلیل استفاده شده بر مبنای سطح تسلیم فون میسز که پیش فرض نرم افزار می‌باشد است. اثر سخت شوندگی پلاستیک نیز با استفاده از مدل سخت شوندگی غیر خطی تعریف شده است.



شکل ۲- منحنی تنش- کرنش فولاد A992

۴- شرایط مرزی و بارگذاری

شرایط مرزی اعمالی همان شرایط مرزی نمونه‌های آزمایش رایین‌هویج و چنگ (۱۹۹۳) همانطور که در شکل ۳ دیده می‌شود همه درجات آزادی در انتهای تیر و ستون متصل به هم در همه جهات بسته شده است. برای مقاطع تیر و ستون از مهار جانبی استفاده نشده ولی برای مقطع مهاربندی برای جلوگیری از کمانش خارج از صفحه از مهارهای جانبی استفاده شده است. نوع بارگذاری اعمالی به صورت شبیه استاتیکی و بصورت اعمال جابجایی‌های رفت و برگشتی به مقطعی مهاربندی اعمال شده است. این نوع بارگذاری باعث ایجاد کمانش، و افت مقاومت در کشش و فشار را به خوبی نشان می‌دهد. بارگذاری در این آزمایش به نحوی است که در سیکل‌های فشاری بعد از کمانش ورق اتصال و کمی افت مقاومت با بارگذاری سیکل‌های فشاری به سیکل کششی تبدیل می‌شود. نحوه بارگذاری در مدل طبق مدل آزمایشگاهی از الگوی بارگذاری ATC-24 می‌باشد. در شکل ۴ الگوی بارگذاری ATC-24 نشان داده شده است.

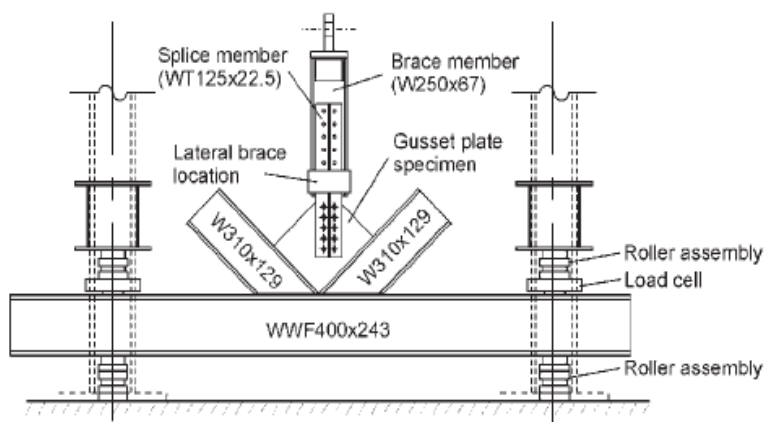
۲- مدل سازی المان محدود ورق اتصال

روش اجزاء محدود یک روش عددی است که می‌توان آنرا برای حل مسائل متعدد و متنوع مهندسی در حالات مختلف پایدار، گذرهای خطی یا غیرخطی مانند تحلیل تنش، انتقال حرارت و جریان سیال بکار گرفت. این روش که ریشه‌های آن به سال‌های اولیه ۱۹۰۰ میلادی بر می‌گردد. عملاً در دهه ۶۰ میلادی به صورت کلاسیک مدون و داخل مباحث مهندسی به خصوص مهندسی مکانیک و عمران شد و در دهه پایانی هزاره دوم بطوط شگفت‌آوری در مراکز علمی و صنعتی جهان رسخ نمود. در این میان آباکوس یک مجموعه از برنامه‌های مدل سازی بسیار توانمند می‌باشد که مبتنی بر روش اجزاء محدود، قابلیت حل مسائل از یک تحلیل خطی ساده تا پیچیده ترین مدل سازی غیر خطی را دارا می‌باشد. این نرم‌افزار دارای مجموعه المان‌های بسیار گسترده‌ای می‌باشد که هر نوع هندسه‌ای را می‌توان به صورت مجازی توسط این المان‌ها مدل کرد. همچنین دارای مدل‌های مواد مهندسی بسیار زیادی است که در مدل‌سازی انواع مواد با خواص و رفتار گوناگون نظری فلزات، لاستیک‌ها، پلیمرها، کامپوزیت‌ها، بنن تقویت شده، فوم‌های فنری و نیز شکننده و همچنین مواد موجود در زمین نظیر خاک و سنگ، قابلیت بالایی را ممکن می‌سازد.[۹]

روش‌های بکار رفته در آنالیز سازه‌ها ممکن است در دو دسته‌بندی ضمنی و صریح قرار گیرند. بسته به نوع مسئله و برخی ملاحظات آنالیزی و اقتصادی و با توجه به معایب و مزایای این روش‌ها، پروسه آنالیز برای یک مسئله دلخواه انتخاب می‌شود. در روش صریح مقداری پاسخ محاسبه شده در هر مرحله فقط به مقداری که در هر مرحله بدست می‌آیند بستگی دارد، بطوریکه آنالیز مستقیماً از هر مرحله‌ای به مرحله بعدی پیش می‌رود. در روش ضمنی مقدار جدید برای یک مرحله مفروض شامل یک یا چندین مقدار مرتبط با همان مرحله می‌باشد. بدین صورت که باید مقداری آزمایشی برای کمیت‌های لازم فرض شود و سپس آنها به وسیله عملیات تکراری متوالی اصلاح شوند. بجز در حالتی که محاسبات در هر مرحله بسیار ساده می‌باشد، هزینه عملیات تکراری در هر مرحله یک مانع برای استفاده از این روش می‌باشد. در این موقع بعتر است که بوسیله یک پروسه، روش ضمنی به یک روش صریح تبدیل شود. در این پروژه از روش اجزای محدود به وسیله‌ی نرم‌افزار آباکوس در حالت ضمنی برای تحلیل استفاده شده است.

۳- خصوصیات هندسی و مصالح

در این پژوهش برای برای پیش‌بینی و شبیه‌سازی رفتار ورق اتصال مهاربندی تحت بارگذاری تناوبی از نرم افزار اجزاء محدود

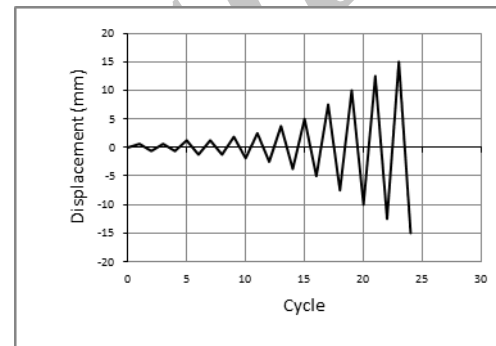


شکل ۳- شرایط مرزی و مدل بارگذاری نمونه های آزمایشگاهی

بررسی یک بار جانی خیلی کوچک به عنوان نقص اولیه در لبه ورق اتصال در جهت خارج از صفحه کمانش وارد شده است.

۵- مشبندی

در مشبندی مدل‌ها از المان‌های پوسته‌ای S4R (چهار گره در هر المان و شش درجه آزادی در هر گره) استفاده شده است (شکل ۵). این المان‌ها می‌توانند کمانش‌های موضعی و کلی مدل را به خوبی شبیه‌سازی کنند. در مدل سازی اثرات جابجایی‌های بزرگ و هندسه غیر خطی در نرم‌افزار در نظر گرفته شده است. همچنین با در نظر گرفتن اثرات جابجایی‌های بزرگ در تحلیل، کمانش موضعی و رفتار پس‌کمانشی را می‌توان شبیه‌سازی نمود. از جزئیات جوش در مدل سازی صرفه نظر شده است. در جدول یک خلاصه‌ای از خصوصیات هندسی و رفتاری مدل‌های آزمایشگاهی ارائه شده است.

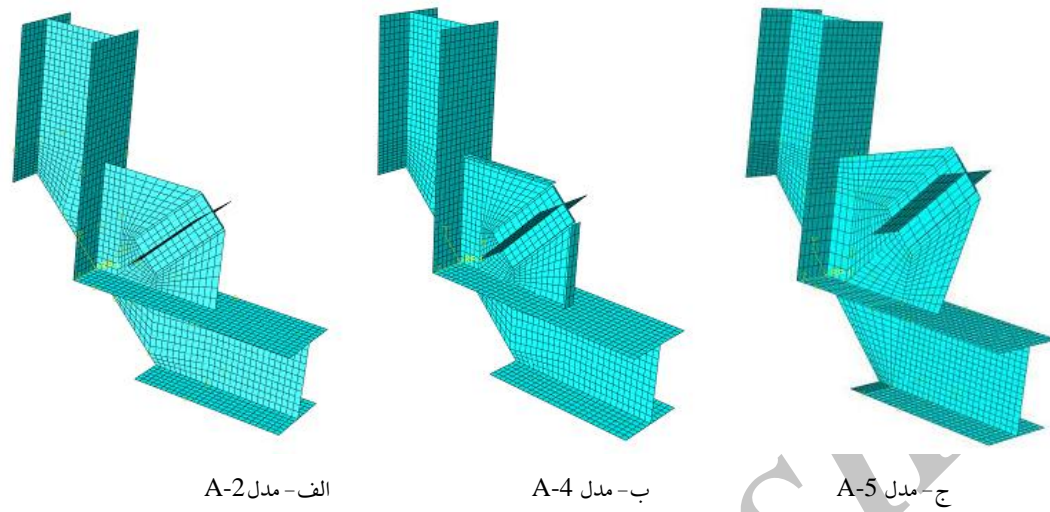


شکل ۴- مدل بارگذاری به روشن ATC-24

برای اینکه پدیده کمانش در یک المان سازه‌ای تحت فشار مشاهده شود باید حداقل یکی از سه عامل : نقص اولیه هندسی، وجود بارهای جانی در جهت خارج از صفحه کمانش و خروج از مرکزیت بارهای اعمالی وجود داشته باشد. در حالت واقعی وجود عوامل فوق باعث بروز کمانش می‌شود ولی چون در محیط نرم افزار از این عوامل وجود ندارد، ایجاد نقص اولیه برای وقوع پدیده کمانش در نمونه‌ها مورد

جدول ۱- داده‌ها و نتایج نمونه آزمایش رابین هویج و چنگ

نمونه‌ها	ابعاد ورق (mm)	خصوصیات مصالح			مقاومت کششی نهایی (MPa)	مقاومت فشاری نهایی (MPa)
		مدول الاستیستیه (MPa)	تنش تسليم (MPa)	تنش نهایی (MPa)		
A-2	550x450x6.18	206000	443	530	1340	1128
A-4	550x450x6.18	206000	443	530	1265	1149
A-5	550x450x9.32	206000	449	537	1887	907



الف- مدل A-2

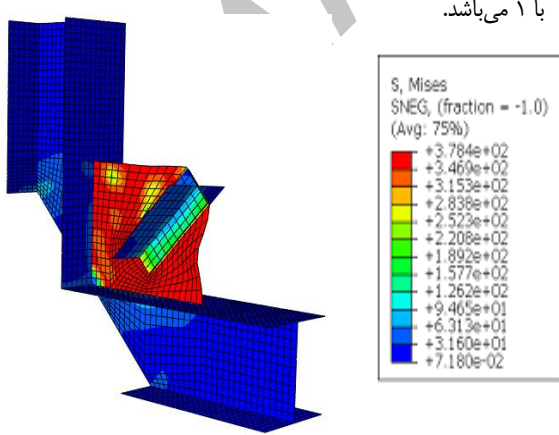
ب- مدل A-4

ج- مدل A-5

شکل ۵- نمونه مدل‌های اجزاء محدود آزمایش رایبن‌هوبیچ و چنگ (۱۹۹۳)

۶-۱- مدل A-2

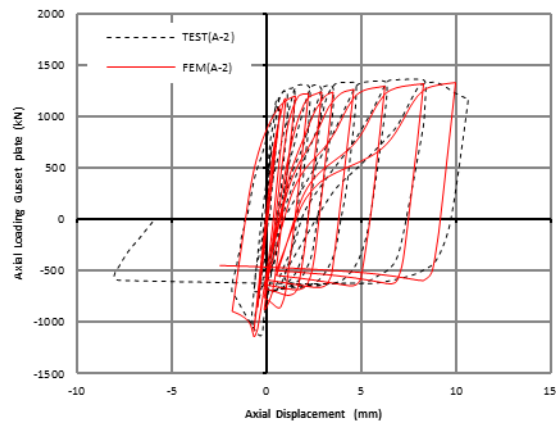
نمونه A-2 یکی از نمونه‌های آزمایش شده توسط رایبن‌هوبیچ و چنگ می‌باشد که در این نمونه از ورق اتصال با ابعاد 450x550x6.18 میلیمتر و مقاطع تیر و ستون W310x129 از وصله مهاری WT125x22.5 و برای مهاربندی از مقطع W250x67 استفاده شده است. حداکثر جابجاگایی اعمال شده در کشش برابر با ۱۰ میلیمتر و در فشار برابر با ۲-۲ میلیمتر می‌باشد. مقادیر نیروی کششی نهایی و نیروی فشاری نهایی مدل آزمایشگاهی به ترتیب برابر با ۱۳۴۰ و ۱۱۲۸ کیلو نیوتون و نیروهای نهایی کششی و فشاری متناظر پیش‌بینی شده توسط مدل‌های المان محدود به ترتیب برابر با ۱۴۱۰ و ۱۱۳۰ کیلو نیوتون می‌باشد که نسبت نتایج المان محدود به آزمایش در حالت کشش ۱/۰۵ و در حالت فشار برابر با ۱ می‌باشد.



شکل ۷- نمودار هیسترزیس نیروی محوری به جابجاگایی نمونه A-2

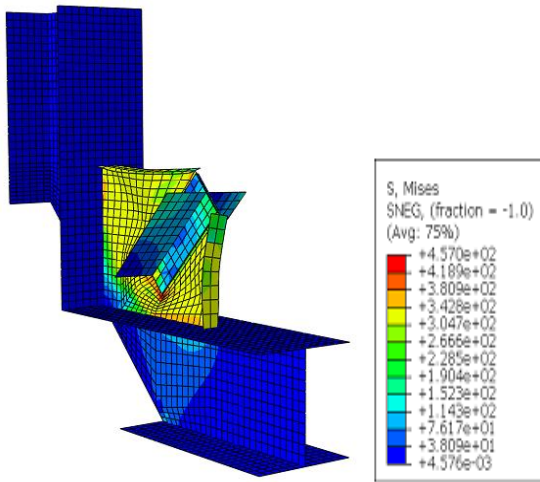
۶- اعتبار سنجی مدل‌های المان محدود

در اعتبار سنجی نتایج این پژوهش سه نمونه از مدل‌های ورق اتصال آزمایش رایبن‌هوبیچ و چنگ (۱۹۹۳) که آزمایش شده اند، به وسیله نرم افزار اجزاء محدود ABAQUS مدل سازی شده است. مشخصات فولاد، شرایط مرزی، بارگذاری و دیگر جزئیات نمونه‌های عددی همانند شرایط آزمایشگاهی مدل سازی شده است. که در ادامه به نتایج و مشخصات بدست آمده از مطالعات المان محدود و نمونه‌های آزمایشگاهی اشاره خواهد شد.



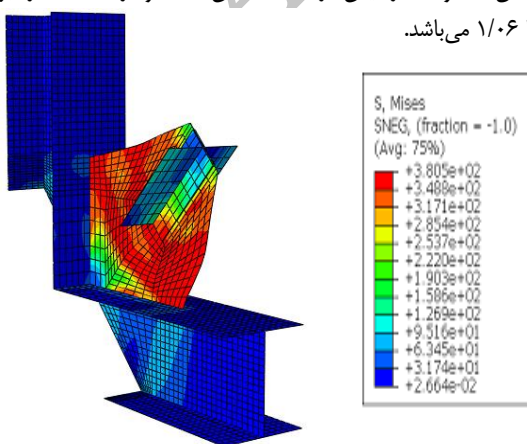
شکل ۶- مدل عددی A-2

کشش برابر با ۱۲ میلیمتر و در فشار برابر با ۱/۷ میلیمتر می‌باشد. مقادیر نیروی کششی نهایی و نیروی فشاری نهایی مدل آزمایشگاهی به ترتیب برابر با ۱۲۶۵ و ۱۱۴۹ کیلو نیوتن و نیروهای نهایی کششی و فشاری متناظر پیش‌بینی شده توسط مدل‌های المان محدود به ترتیب برابر با ۱۳۸۳ و ۱۱۸۱ کیلو نیوتن می‌باشد که نسبت نتایج المان محدود به آزمایش در حالت کشش ۱/۰۹ و در حالت فشار برابر با ۱/۰۳ می‌باشد.



شکل ۹- نمودار هیسترزیس نیروی محوری به جابجایی نمونه A-4

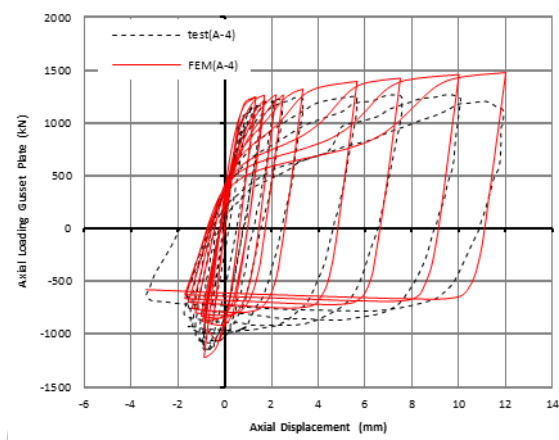
کشش برابر با ۷/۷ میلیمتر و در فشار برابر با ۱/۸ میلیمتر می‌باشد. مقادیر نیروی کششی نهایی و نیروی فشاری نهایی مدل آزمایشگاهی به ترتیب برابر با ۱۸۷ و ۹۰۷ کیلو نیوتن و نیروهای نهایی کششی و فشاری متناظر پیش‌بینی شده توسط مدل‌های المان محدود به ترتیب برابر با ۱۹۰ و ۹۶۸ کیلو نیوتن می‌باشد که نسبت نتایج المان محدود به آزمایش در حالت کشش ۱/۰۱ و در حالت فشار برابر با ۱/۰۶ می‌باشد.



شکل ۱۱- نمودار هیسترزیس نیروی محوری به جابجایی نمونه A-4

A-۴-۲- مدل A-4

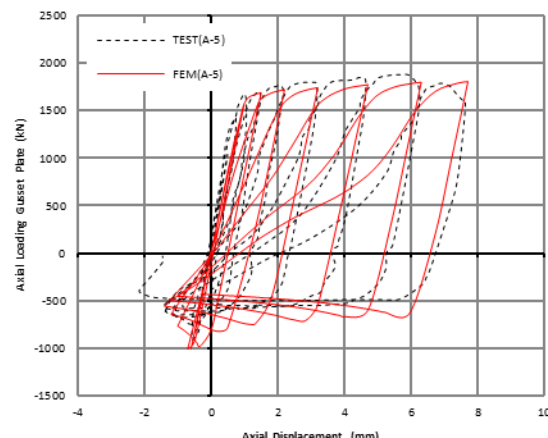
نمونه A-4 یکی دیگر از نمونه‌های آزمایش شده توسط رایین و پنج چنگ می‌باشد که در این نمونه از ورق اتصال با ابعاد ۴۵۰x۵۵۰x6.18 میلیمتر که از سخت‌کندهای لبه با ضخامت ۶/۱۸ میلیمتر و مقاطع تیر و ستون W310x129 از وصله مهاری استفاده شده است. حداقل جابجایی اعمال شده در



شکل ۱۰- مدل عددی A-4

A-۵-۶- مدل A-5

نمونه A-5 یکی دیگر از نمونه‌های آزمایش شده توسط رایین و پنج چنگ (۱۹۹۳) می‌باشد که در این نمونه از ورق اتصال با ابعاد ۴۵۰x۵۵۰x9.13 میلیمتر و مقاطع تیر و ستون W310x129 از وصله مهاری WT125x22.5 و برای مهاربندی از مقطع W250x67 استفاده شده است. حداقل جابجایی اعمال شده در



شکل ۱۰- مدل عددی A-4

نمودار هیسترزیس آزمایشگاهی و تحلیل عددی تحت بارگذاری تناوبی نشان می‌دهد که افت مقاومت کمانشی در ورق اتصال بعد از پس کمانش به خوبی توسط مدل اجزاء محدود پیش‌بینی شده و همچنین مقاومت کشنی مدل‌های اجزاء محدود ورق اتصال در تشابه نزدیکی با مدل آزمایشگاهی بوده است (جدول ۲).

شکل‌های ۹ و ۱۱ نمودار هیسترزیس بار محوری در برابر جابجایی نمونه‌های A-2، A-4 و A-5 از آزمایش رابینه‌ویج و چنگ (۱۹۹۳) به همراه نمودار هیسترزیس پیش‌بینی شده توسط نرم افزار اجزاء محدود نشان داده شده است. مقایسه به دست آمده از

جدول ۲- مقایسه نتایج تحلیل عددی با نتایج آزمایش رابینه‌ویج و چنگ (۱۹۹۳)

نمونه‌ها	نتایج آزمایش		نتایج تحلیل عددی		نتایج مقایسه کشنی	مقایسه نتایج فشاری
	مقاومت کشنی (MPa) نهایی	مقاومت فشاری (MPa) نهایی	مقاومت کشنی (MPa) نهایی	مقاومت فشاری (MPa) نهایی		
A-2	1340	1128	1330	1130	1.01	1
A-4	1265	1149	1470	1220	0.86	1.036
A-5	1887	907	1810	1010	1.04	0.9

۷- نتیجه گیری

۸- منابع

[1]- Whitmore, R.E., "Experimental Investigation of Stresses in Gusset Plates", Bulletin No. 16, Engineering Experiment Station, University o Tennessee(1950).

[2]- Bjorhovde, R. and Chakrabarti, S.K., 1983, "Test of Full-Size Gusset Plate Connections", Journal of Structural Engineering, Vol. 111, No. 3, pp. 667-684.

[3]- Thornton, W.A., 1984, "Bracing Connections for Heavy Construction", Engineering Journal, AISC, Vol. 21, No. 3, pp. 139-148

[4]- Astaneh-Asl, A. "Seismic behavior and design of gusset plates." Steel Tips Report, Structural Steel Educational Council, Moraga, CA. (1998).

[5]- Hu, S. Z., and Cheng, J.J.R, 1987, "Compressive Behaviour of Gusset Plate Connections", Structural Engineering Report No. 153, Department of Civil Engineering, University of Alberta, Edmonton, Alberta.

نتایج نشان می‌دهد که تحلیل غیرخطی المان محدود برای شبیه سازی همچنان مسئله‌ای پیچیده است. در این مطالعه به شبیه‌سازی رفتار لزه‌ای ورقهای اتصال مهاربندی پرداخته شده است.

سه مدل آزمایشگاهی انتخاب و مدل‌های عددی آنها شبیه سازی شده است با مشخصات فولاد، شرایط مرزی، بارگذاری و دیگر جزئیات و شرایط نمونه‌های آزمایشگاهی مدل‌سازی شده است. مقایسه به دست آمده از نمودار هیسترزیس آزمایشگاهی و تحلیل عددی تحت بارگذاری تناوبی نشان می‌دهد که افت مقاومت کمانشی در ورق اتصال بعد از پس کمانش به خوبی توسط مدل اجزاء محدود پیش‌بینی شده و همچنین مقاومت کشنی مدل‌های اجزاء محدود ورق اتصال در تشابه نزدیکی با مدل آزمایشگاهی بوده است.

[6]- Yam, C.H.M. and Cheng, J.J.R., 1993, "Experimental Investigation of the Compressive Behaviour of Gusset Plate Connections.", Structural Engineering Report No. 194, Department of Civil Engineering, University of Alberta, Edmonton, Alberta .

[7]- Rabinovitch, J.S. and Cheng, J.J.R., 1993, "Cyclic Behaviour of Steel Gusset Plate Connections", Structural Engineering Report No. 191, Department of Civil Engineering, University of Alberta, Edmonton, Alberta.

[8]- Sheng, N., Yam, C.H. and Iu, V.P., 2001, "Analytical Investigation and Design of the Compressive Strength of Gusset Plate Connections", Journal of Constructional Steel Research, Vol. 58, pp. 1473-1493.

[9]- Abaqus Analysis User Manual (2014). Dassault Systems Simulia Corp. Abaqus Version 6.13

Archive of SID

Simulation and nonlinear analysis behavior of seismic gusset plates connection bracing

Mojtaba Gorji Azandariani

Ph.D Student, Semnan University, Semnan, Iran

Ahmad Maleki

Assistant Professor, Department of Civil Engineering, Islamic Azad University, Maragheh Branch, Maragheh, Iran

Mehdi Yousefvand

Ph.D Student, Islamic Azad University, Maragheh Branch, Maragheh, Iran

ABSTRACT

In this study, to simulate the behavior gusset plate connection of bracing under cyclic loading is investigated. For this purpose to model and simulated the behavior of ABAQUS software is used gusset plate connection. In modeling the nonlinear static analysis, nonlinear materials and geometry, boundary conditions flexible and cyclic loading of used and finally the model is validated by the results of experimental models. This paper shows that cyclic behavior of the gusset plate connection can be well predicted by the finite element method. The simulation results and analysis as well as the ability to model the behavior of nonlinear seismic is capable connection plate. It can also gusset plate connection buckling in the pressure modeling and predict.

Key words: Gusset plate connection, bracing converged, simulation, buckling capacity, Abaqus softwaro.